

Дополнительные материалы
к отчёту о выполнении проекта № 19-12-00123
«Мюонные аномалии, ультрапериферические столкновения на ЛНС и
суперсимметрия»
в 2021 году

Сечение ультрапериферического столкновения с учётом фактора подавления:

$$\sigma(AB \rightarrow ABX) = \int_0^\infty ds \left[\sigma_{\parallel}(\gamma\gamma \rightarrow X) \frac{dL_{AB}^{\parallel}}{ds} + \sigma_{\perp}(\gamma\gamma \rightarrow X) \frac{dL_{AB}^{\perp}}{ds} \right], \quad (1)$$

где $\sigma_{\parallel}(\gamma\gamma \rightarrow X)$, $\sigma_{\perp}(\gamma\gamma \rightarrow X)$ — сечения реакции $\gamma\gamma \rightarrow X$ для фотонов с параллельными и перпендикулярными поляризациями соответственно, dL_{AB}^{\parallel}/ds и dL_{AB}^{\perp}/ds — фотон-фотонные светимости с параллельными и перпендикулярными поляризациями фотонов, \sqrt{s} — инвариантная масса системы X .

Фотон-фотонные светимости:

$$\begin{aligned} \frac{dL_{AB}^{\parallel}}{ds} &= \frac{1}{4} \int_{-\infty}^{\infty} dy \int d^2b_1 \int d^2b_2 n\left(b_1, \frac{\sqrt{s}}{2} e^y\right) n\left(b_2, \frac{\sqrt{s}}{2} e^{-y}\right) P(b) \cos^2 \varphi, \\ \frac{dL_{AB}^{\perp}}{ds} &= \frac{1}{4} \int_{-\infty}^{\infty} dy \int d^2b_1 \int d^2b_2 n\left(b_1, \frac{\sqrt{s}}{2} e^y\right) n\left(b_2, \frac{\sqrt{s}}{2} e^{-y}\right) P(b) \sin^2 \varphi, \end{aligned} \quad (2)$$

где \vec{b}_1, \vec{b}_2 — векторы от центров сталкивающихся частиц до заданной точки пространства в плоскости столкновения в момент столкновения (см. рис. 1), $n(b, \omega)$ — спектр фотонов с энергией ω на расстоянии b от заряженной частицы (см. ниже), y — быстрота системы X , $P(b)$ — вероятность избежать неэлектромагнитного взаимодействия между сталкивающимися частицами, φ — угол между векторами поляризации фотонов. Здесь и далее предполагается, что система X не участвует в сильных взаимодействиях.

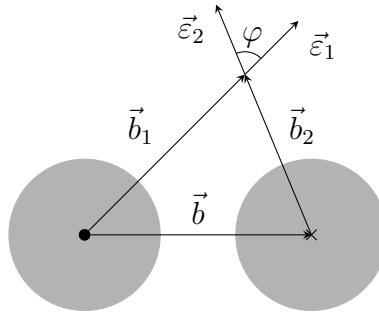


Рис. 1: Ультрапериферическое столкновение двух протонов, двигающихся перпендикулярно плоскости рисунка. \vec{b}_1 и \vec{b}_2 — радиус-векторы точки в плоскости столкновения относительно соответствующих протонов, в которой рассматривается столкновение фотонов. $b = |\vec{b}_1 - \vec{b}_2|$ — прицельный параметр столкновения. $\vec{\epsilon}_1$ и $\vec{\epsilon}_2$ — вектора поляризации фотонов.

Сечение ультрапериферического столкновения без учёта фактора подавления:

$$\sigma(AB \rightarrow ABX)|_{P=1} = \int_0^\infty ds \sigma(\gamma\gamma \rightarrow X) \left. \frac{dL_{AB}}{ds} \right|_{P=1}, \quad (3)$$

где $L_{AB} = L_{AB}^{\parallel} + L_{AB}^{\perp}$,

$$\left. \frac{dL_{AB}}{ds} \right|_{P=1} = \frac{1}{8} \int_{-\infty}^{\infty} dy n\left(\frac{\sqrt{s}}{2} e^y\right) n\left(\frac{\sqrt{s}}{2} e^{-y}\right), \quad (4)$$

$$n(\omega) = \int d^2b n(b, \omega). \quad (5)$$

Спектр фотонов на расстоянии b от частицы:

$$n(b, \omega) = \frac{Z^2 \alpha}{\pi^2 \omega} \left[\int_0^\infty \frac{F(q_\perp^2 + \omega^2/\gamma^2)}{q_\perp^2 + \omega^2/\gamma^2} J_1(bq_\perp) q_\perp^2 dq_\perp \right]^2, \quad (6)$$

где ω — энергия фотона, Ze — заряд частицы ($-e$ — заряд электрона), α — постоянная тонкой структуры, $F(Q^2)$ — электромагнитный формфактор частицы (Q^2 — квадрат пространственной компоненты импульса фотона), γ — фактор Лоренца частицы, q_\perp — поперечный импульс фотона, $J_1(x)$ — функция Бесселя.

Спектр фотонов, проинтегрированный по всей плоскости столкновения:

$$n(\omega) = \int d^2b n(b, \omega) = \frac{2Z^2 \alpha}{\pi \omega} \int_0^\infty \left[\frac{F(q_\perp^2 + \omega^2/\gamma^2)}{q_\perp^2 + \omega^2/\gamma^2} \right]^2 q_\perp^3 dq_\perp. \quad (7)$$

Фактор подавления:

$$\langle S_{\gamma\gamma} \rangle_{AB} = \frac{\sigma(AB \rightarrow ABX)}{\sigma(AB \rightarrow ABX)|_{P=1}}. \quad (8)$$

Если пренебречь поляризацией фотонов:

$$(S_{\gamma\gamma})_{AB} = \frac{dL/dsdy}{dL/dsdy|_{P=1}}. \quad (9)$$

Вероятность избежать неэлектромагнитного взаимодействия в ультрапериферическом столкновении протонов:

$$P_{pp}(b) = \left(1 - e^{-\frac{b^2}{2B}}\right)^2, \quad (10)$$

где B — эмпирический параметр, равный 21.1 ГэВ^{-2} для энергии столкновения 13 ТэВ .

Фотон-фотонные светимости в столкновениях протонов:

$$\begin{aligned} \frac{dL_{pp}^{\parallel}}{ds} &= \frac{\pi^2}{2} \int_0^\infty b_1 db_1 \int_0^\infty b_2 db_2 \int_{-\infty}^{\infty} dy n_p\left(b_1, \frac{\sqrt{s}}{2} e^y\right) n_p\left(b_2, \frac{\sqrt{s}}{2} e^{-y}\right) \\ &\times \left\{ 1 - 2e^{-\frac{b_1^2+b_2^2}{2B}} \left[I_0\left(\frac{b_1 b_2}{B}\right) + I_2\left(\frac{b_1 b_2}{B}\right) \right] + e^{-\frac{b_1^2+b_2^2}{B}} \left[I_0\left(\frac{2b_1 b_2}{B}\right) + I_2\left(\frac{2b_1 b_2}{B}\right) \right] \right\}, \end{aligned} \quad (11)$$

$$\begin{aligned} \frac{dL_{pp}^{\perp}}{ds} &= \frac{\pi^2}{2} \int_0^\infty b_1 db_1 \int_0^\infty b_2 db_2 \int_{-\infty}^{\infty} dy n_p\left(b_1, \frac{\sqrt{s}}{2} e^y\right) n_p\left(b_2, \frac{\sqrt{s}}{2} e^{-y}\right) \\ &\times \left\{ 1 - 2e^{-\frac{b_1^2+b_2^2}{2B}} \left[I_0\left(\frac{b_1 b_2}{B}\right) - I_2\left(\frac{b_1 b_2}{B}\right) \right] + e^{-\frac{b_1^2+b_2^2}{B}} \left[I_0\left(\frac{2b_1 b_2}{B}\right) - I_2\left(\frac{2b_1 b_2}{B}\right) \right] \right\}, \end{aligned}$$

где $I_0(x)$, $I_2(x)$ — модифицированные функции Бесселя первого рода.

Электромагнитный формфактор протона:

$$F_p(Q^2) = \frac{1 + \mu_p Q^2/m_p^2}{(1 + Q^2/\Lambda^2)^2(1 + Q^2/m_p^2)}, \quad (12)$$

где m_p — масса протона, μ_p — магнитный момент протона, Λ — численный параметр.

Спектр эквивалентных фотонов на расстоянии b от протона:

$$\begin{aligned} n_p(b, \omega) = \frac{\alpha}{\pi^2 \omega} & \left[\frac{\omega}{\gamma} K_1 \left(\frac{b\omega}{\gamma} \right) - \left(1 + \frac{(\mu_p - 1) \frac{\Lambda^4}{16m_p^4}}{\left(1 - \frac{\Lambda^2}{4m_p^2} \right)^2} \right) \sqrt{\Lambda^2 + \frac{\omega^2}{\gamma^2}} K_1 \left(b \sqrt{\Lambda^2 + \frac{\omega^2}{\gamma^2}} \right) \right. \\ & + \frac{(\mu_p - 1) \frac{\Lambda^4}{16m_p^4}}{\left(1 - \frac{\Lambda^2}{4m_p^2} \right)^2} \sqrt{4m_p^2 + \frac{\omega^2}{\gamma^2}} K_1 \left(b \sqrt{4m_p^2 + \frac{\omega^2}{\gamma^2}} \right) \\ & \left. - \frac{1 - \frac{\mu_p \Lambda^2}{4m_p^2}}{1 - \frac{\Lambda^2}{4m_p^2}} \cdot \frac{b\Lambda^2}{2} K_0 \left(b \sqrt{\Lambda^2 + \frac{\omega^2}{\gamma^2}} \right) \right]^2, \quad (13) \end{aligned}$$

где $K_0(x)$, $K_1(x)$ — модифицированные функции Бесселя второго рода (функции Макдоналда).

Спектр эквивалентных фотонов протона, проинтегрированный по всей плоскости столкновения:

$$\begin{aligned} n_p(\omega) = \frac{\alpha}{\pi \omega} & \left\{ \left(1 + 4u - 2(\mu_p - 1) \frac{u}{v} \right) \ln \left(1 + \frac{1}{u} \right) \right. \\ & + \frac{\mu_p - 1}{(v - 1)^4} \left[\frac{\mu_p - 1}{v - 1} (1 + 4u + 3v) - 2 \left(1 + \frac{u}{v} \right) \right] \ln \frac{u + v}{u + 1} - \frac{24u^2 + 42u + 17}{6(u + 1)^2} \\ & + (\mu_p - 1) \frac{6u^2(v^2 - 3v + 3) + 3u(3v^2 - 9v + 10) + 2v^2 - 7v + 11}{3(u + 1)^2(v - 1)^3} \\ & \left. - (\mu_p - 1)^2 \frac{24u^2 + 6u(v + 7) - v^2 + 8v + 17}{6(u + 1)^2(v - 1)^4} \right\}, \quad (14) \end{aligned}$$

где

$$u = \left(\frac{\omega}{\Lambda \gamma} \right)^2, \quad v = \left(\frac{2m_p}{\Lambda} \right)^2. \quad (15)$$

Вероятность избежать неэлектромагнитного взаимодействия в столкновении двух ядер свинца

$$P_{\text{Pb Pb}}(b) = e^{-\sigma_{NN} T_{\text{Pb Pb}}(b)}, \quad (16)$$

где σ_{NN} — сечение столкновения двух нуклонов соответствующей энергии,

$$T_{\text{Pb Pb}}(b) = \int T_{\text{Pb}}(\vec{\beta}) T_{\text{Pb}}(|\vec{b} - \vec{\beta}|) d^2\beta \quad (17)$$

описывает перекрытие ядер при столкновении (nuclear overlap function). Интегрирование ведётся по всей плоскости, перпендикулярной оси столкновения. Функция

$$T_{\text{Pb}}(b) = \int_0^\infty \rho_{\text{Pb}}(b, z) dz \quad (18)$$

— толщина ядра на расстоянии b от центра, $\rho_{\text{Pb}}(b, z)$ — ядерная плотность.
 Формула Вудса-Саксона для ядерной плотности (распределение Ферми):

$$\rho_{\text{Pb}}(r) = \frac{\rho_0}{1 + e^{\frac{r-R}{a}}}, \quad (19)$$

где r — расстояние до центра ядра, ρ_0 , R , a — параметры разложения. Аналогичную формулу можно использовать для описания плотности электрического заряда ядра.

Электромагнитный формфактор есть преобразование Фурье от плотности электрического заряда:

$$F(Q^2) = \frac{\int \rho(r) e^{-i\vec{Q}\vec{r}} d^3r}{\int \rho(r) d^3r}. \quad (20)$$

Электромагнитный формфактор ядра свинца в монополюльном приближении:

$$F_1(Q^2) = \frac{1}{1 + Q^2/\Lambda^2}. \quad (21)$$

Соответствующий спектр эквивалентных фотонов:

$$n_1(b, \omega) = \frac{Z^2 \alpha}{\pi^2 \omega} \left[\frac{\omega}{\gamma} K_1 \left(\frac{b\omega}{\gamma} \right) - \sqrt{\Lambda^2 + \left(\frac{\omega}{\gamma} \right)^2} K_1 \left(b \sqrt{\Lambda^2 + \left(\frac{\omega}{\gamma} \right)^2} \right) \right]^2. \quad (22)$$

Электромагнитный формфактор ядра свинца в разложении Фурье-Бесселя:

$$F_{\text{Pb}}(Q^2) = \frac{\sin QR}{QR} \cdot \frac{\sum_{k=1}^K \frac{(-1)^k a_k}{k^2 \pi^2 - Q^2 R^2}}{\sum_{k=1}^K \frac{(-1)^k a_k}{k^2 \pi^2}}, \quad (23)$$

где R и a_k , $k = 1, \dots, K$ — параметры разложения.

Соответствующий спектр эквивалентных фотонов:

$$n_{\text{Pb}}(b, \omega) = \frac{Z^2 \alpha}{\pi^2 \omega R^4} \left[\sum_{k=1}^K \frac{(-1)^k a_k}{k^2 \pi^2} \right]^{-2} \left[\sum_{k=1}^K (-1)^k a_k \int_0^\infty \frac{x^2 \sin \sqrt{x^2 + y^2} J_1(cx)}{(x^2 + y^2 - (k\pi)^2)(x^2 + y^2)^{\frac{3}{2}}} dx \right]^2, \quad (24)$$

где $x = q_\perp R$, $y = R\omega/\gamma$, $c = b/R$. Интеграл можно представить в виде разности двух интегралов:

$$\begin{aligned} & \int_0^\infty \frac{x^2 \sin \sqrt{x^2 + y^2} J_1(cy)}{(x^2 + y^2 - (k\pi)^2)(x^2 + y^2)^{\frac{3}{2}}} dx \\ &= \frac{1}{(k\pi)^2} \int_0^\infty \left(\frac{1}{x^2 + y^2 - (k\pi)^2} - \frac{1}{x^2 + y^2} \right) \frac{x^2 \sin \sqrt{x^2 + y^2}}{\sqrt{x^2 + y^2}} J_1(cy) dx, \quad (25) \end{aligned}$$

для которых были получены следующие представления:

$$\begin{aligned}
& \int_0^{\infty} \frac{x^2 \sin \sqrt{x^2 + y^2} J_1(cy)}{(x^2 + y^2)^{\frac{3}{2}}} dx \\
&= (c \geq 1) = yK_1(cy) \\
&= (c < 1) = yK_1(cy) - \frac{1-c^2}{c} \cos(y\sqrt{1-c^2}) + 2iy \int_0^{\ln \frac{1+\sqrt{1-c^2}}{c}} U_1(iy(1-c \operatorname{ch} t), y\sqrt{1-c^2 \operatorname{ch}^2 t}) \operatorname{ch} t dt, \\
& \int_0^{\infty} \frac{x^2 \sin \sqrt{x^2 + y^2} J_1(cy)}{(x^2 + y^2 - (k\pi)^2) \sqrt{x^2 + y^2}} dx \\
&= (c \geq 1) = 0 \\
&= (c < 1) = \frac{1}{(k\pi)^2} \left[yK_1(cy) + \frac{\sin(y\sqrt{1-c^2})}{cy} - \frac{\sqrt{1-c^2}}{c} \cos(y\sqrt{1-c^2}) \right. \\
&\quad - \sqrt{1 - \left(\frac{y}{k\pi}\right)^2} \int_0^{\ln \frac{1+\sqrt{1-c^2}}{c}} \left[U_0\left((k\pi - \sqrt{(k\pi)^2 - y^2})(1 - c \operatorname{ch} t), z\sqrt{1 - c^2 \operatorname{ch}^2 t}\right) \right. \\
&\quad \quad \left. - U_0\left((k\pi + \sqrt{(k\pi)^2 - y^2})(1 + c \operatorname{ch} t), y\sqrt{1 - c^2 \operatorname{ch}^2 t}\right) \right] \operatorname{ch} t dt \\
&\quad \left. + 2iy \int_0^{\ln \frac{1+\sqrt{1-c^2}}{c}} U_1\left(iy(1 - c \operatorname{ch} t), y\sqrt{1 - c^2 \operatorname{ch}^2 t}\right) \operatorname{ch} t dt \right], \tag{26}
\end{aligned}$$

где $U_0(x, y)$, $U_1(x, y)$ – функции Ломмеля:

$$U_\nu(x, y) = \sum_{n=0}^{\infty} (-1)^n \left(\frac{x}{y}\right)^{\nu+2n} J_{\nu+2n}(y). \tag{27}$$

Диаграмма Фейнмана для рождения пары мюонов в полуинклюзивном столкновении протонов приведена на рис. 2.

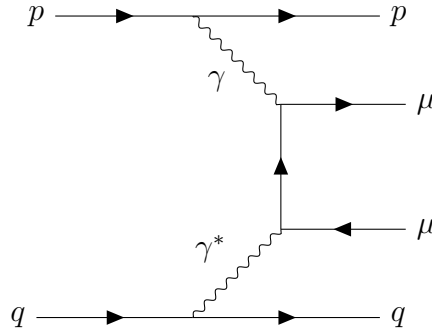


Рис. 2: Диаграмма Фейнмана для процесса $pp \rightarrow p\mu^+\mu^-X$.

Сечение рождения пары мюонов в полуинклюзивном столкновении протонов:

$$\sigma(pp \rightarrow p\mu^+\mu^-X) = 2 \cdot \left(\frac{\alpha}{\pi}\right)^2 \sum_q Q_q^2 \int_{\hat{W}^2}^{\infty} dW^2 \int_0^{s\hat{q}/m_p - W^2} \frac{\sigma(\gamma\gamma^* \rightarrow \mu^+\mu^-)(Q_2^2, W^2)}{W^2 + Q_2^2} dQ_2^2$$

$$\times \int_{\frac{W^2 + Q_2^2}{s\hat{q}/m_p}}^1 f_q(x, Q_2^2) dx \int_{(W^2 + Q_2^2)/x^2 s}^{(2\hat{q}\gamma)^2/(W^2 + Q_2^2)} \frac{dy}{y} \frac{\ln(\hat{q}\gamma/\omega_1)}{Q_2^2 + (\omega_2/x\gamma)^2}, \quad (28)$$

где суммирование идёт по кваркам и антикваркам, Q_q — заряд кварка, W — инвариантная масса мюонной пары, Q_2^2 — минус квадрат импульса фотона, $\sigma(\gamma\gamma^* \rightarrow \mu^+\mu^-)$ — сечение рождения пары мюонов в столкновении фотонов, один из которых виртуальный, $\sqrt{s} = 13$ ТэВ — энергия столкновения протонов, $\hat{q} = 200$ МэВ — обратный размер протона, \hat{W} — ограничение на инвариантную массу мюонов, m_p — масса протона, γ — фактор Лоренца протона, $y = \omega_1/\omega_2$, ω_1, ω_2 — энергии фотонов, x — доля энергии протона, которую несёт кварк q , $f_q(x, Q_2^2)$ — партонная функция распределения для кварка q .

Список литературы

- [1] The ATLAS Collaboration. Measurement of the exclusive $\gamma\gamma \rightarrow \mu^+\mu^-$ process in proton-proton collisions at $\sqrt{s} = 13$ TeV with the ATLAS detector. Phys.Lett. B 777, 303 (2018).

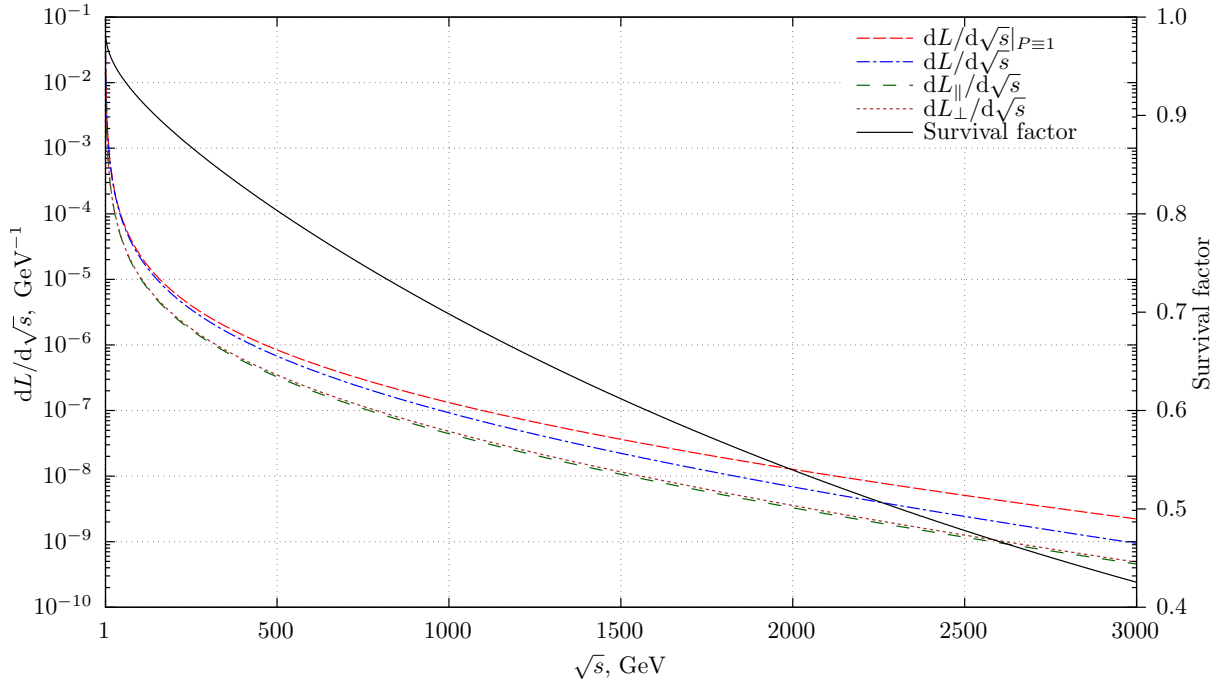


Рис. 3: Фактор подавления (правая шкала) и соответствующие фотон-фотонные светимости (левая шкала) в столкновениях протонов с энергией 13 ТэВ. Здесь \sqrt{s} — инвариантная масса рождённой системы.

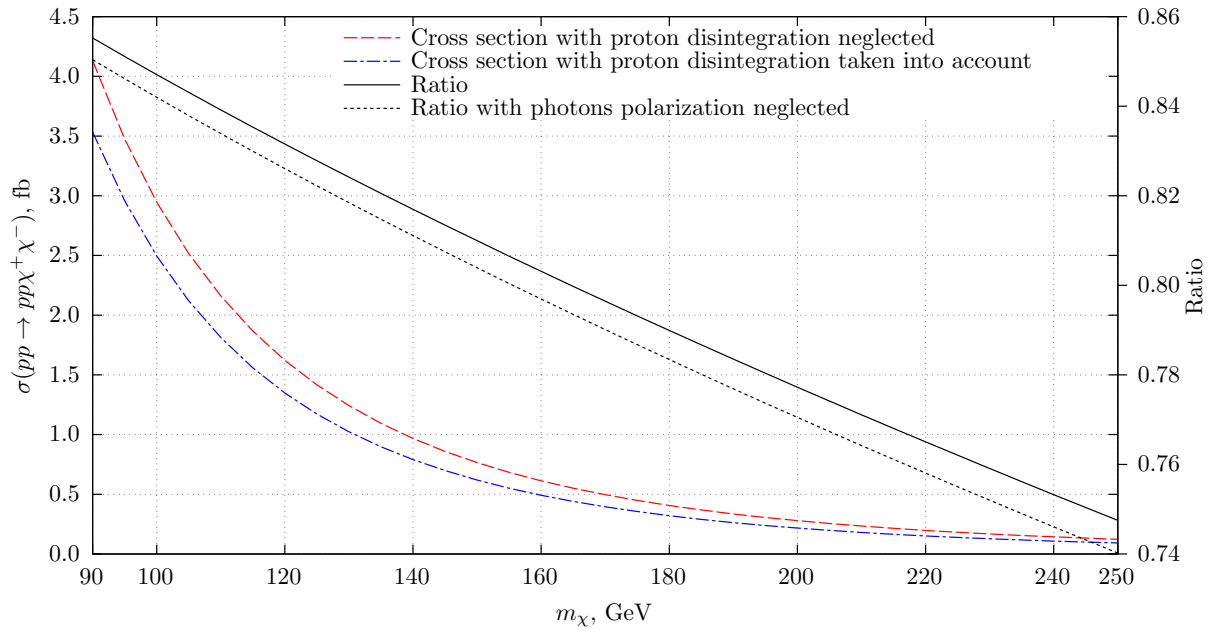


Рис. 4: Сечения (левая шкала) и их отношения (правая шкала) рождения пары заряженных фермионов $\chi^+\chi^-$ в ультрапериферических столкновениях протонов с энергией 13 ТэВ в зависимости от массы частицы. Чёрная пунктирная линия (правая шкала) — это отношение сечений если пренебречь поляризацией фотонов в ультрапериферических столкновениях. Соответствующее сечение не показано, так как на этом рисунке его будет сложно отличить от синей штрих-пунктирной линии.

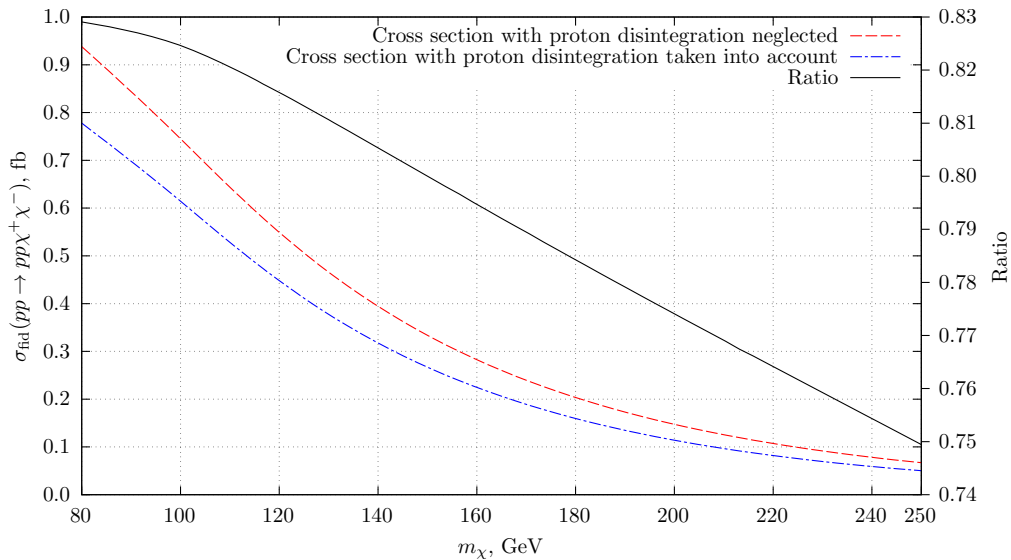


Рис. 5: Сечения (левая шкала) и их отношения (правая шкала) рождения пары заряженных фермионов $\chi^+\chi^-$ в ультрапериферических столкновениях протонов с энергией 13 ТэВ в зависимости от массы частицы. Требуется, чтобы у обеих частиц поперечный импульс был не меньше 20 ГэВ, а псевдобыстрота не больше 2.5; оба протона должны попасть в передние детекторы.

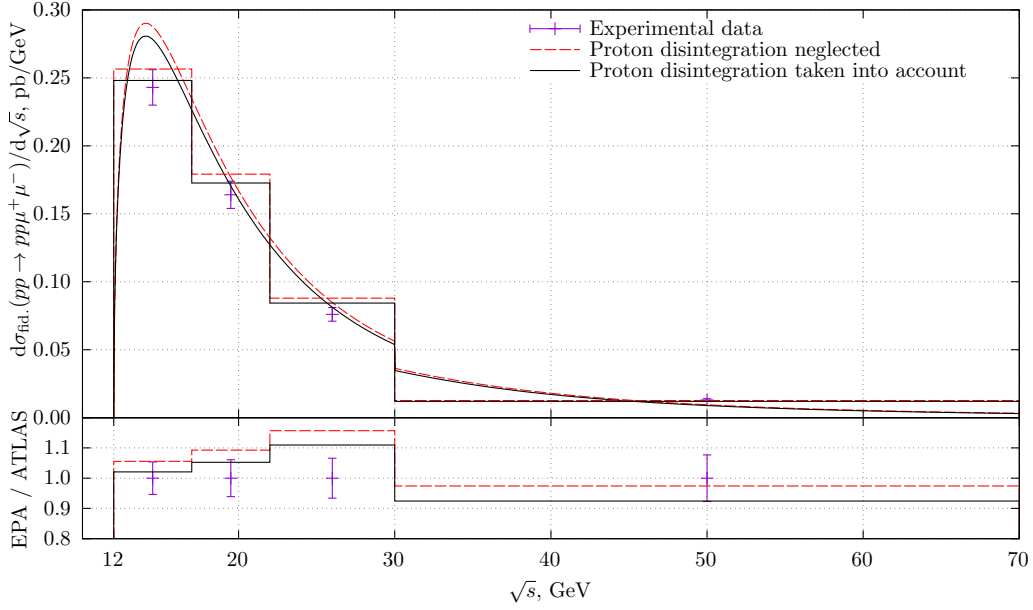


Рис. 6: *Вверху*: Сечение реакции $pp \rightarrow ppp\mu^+\mu^-$ для энергии столкновения 13 ТэВ с дополнительными требованиями к каждому мюону: поперечный импульс каждого мюона больше 6 ГэВ в интервале инвариантных масс $12 \text{ ГэВ} < \sqrt{s} < 30 \text{ ГэВ}$ и больше 10 ГэВ для $30 \text{ ГэВ} < \sqrt{s} < 70 \text{ ГэВ}$; псевдобыстрота каждого мюона не больше 2.4. Точки — результаты измерений [1]. Красная пунктирная линия — дифференциальное сечение без учёта фактора подавления. Чёрная сплошная линия — дифференциальное сечение с учётом фактора подавления. Гистограммы — соответствующие сечения, проинтегрированные в тех же интервалах, что и точки. *Внизу*: отношение вычисленных сечений к результатам измерений.

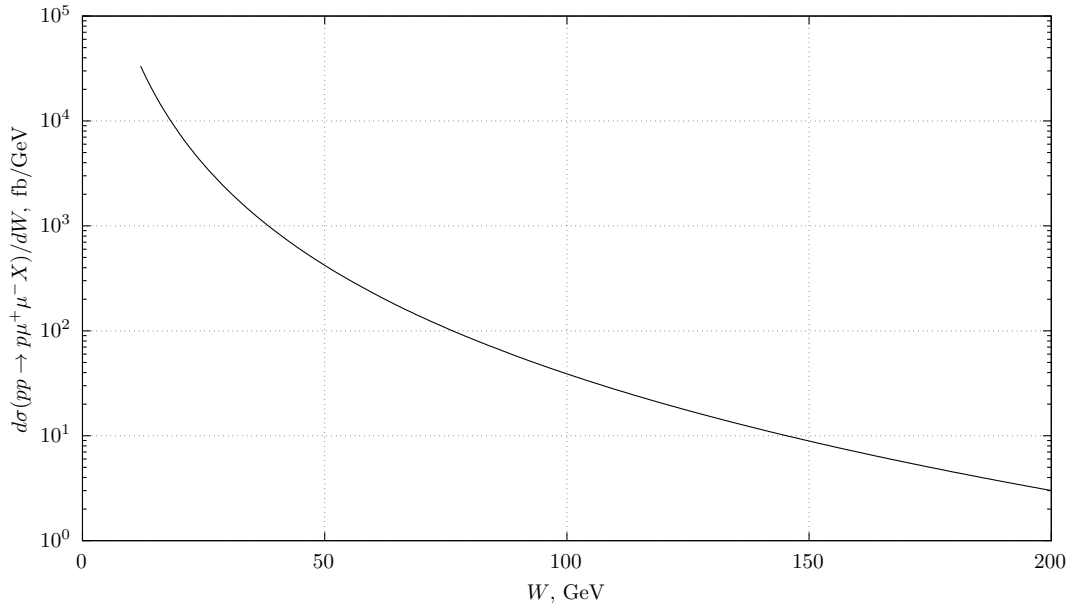


Рис. 7: Спектр пар мюонов, рождённых в полуинклюзивном столкновении протонов с энергией 13 ТэВ.